

(19) 日本国特許庁(JP)

(12) 特 許 公 報(B2)

(11) 特許番号

特許第4988743号  
(P4988743)

(45) 発行日 平成24年8月1日(2012.8.1)

(24) 登録日 平成24年5月11日(2012.5.11)

(51) Int.Cl. F I  
 HO4W 28/20 (2009.01) HO4Q 7/00 283  
 HO4W 92/12 (2009.01) HO4Q 7/00 687

請求項の数 18 (全 13 頁)

(21) 出願番号	特願2008-531060 (P2008-531060)	(73) 特許権者	598036300
(86) (22) 出願日	平成18年9月11日 (2006.9.11)		テレフオンアクチーボラゲット エル エム エリクソン (パブル)
(65) 公表番号	特表2009-509397 (P2009-509397A)		スウェーデン国 ストックホルム エスー
(43) 公表日	平成21年3月5日 (2009.3.5)		164 83
(86) 国際出願番号	PCT/SE2006/050320	(74) 代理人	100076428
(87) 国際公開番号	W02007/032733		弁理士 大塚 康德
(87) 国際公開日	平成19年3月22日 (2007.3.22)	(74) 代理人	100112508
審査請求日	平成21年8月11日 (2009.8.11)		弁理士 高柳 司郎
(31) 優先権主張番号	60/717,978	(74) 代理人	100115071
(32) 優先日	平成17年9月16日 (2005.9.16)		弁理士 大塚 康弘
(33) 優先権主張国	米国 (US)	(74) 代理人	100116894
			弁理士 木村 秀二
		(74) 代理人	100130409
			弁理士 下山 治

最終頁に続く

(54) 【発明の名称】 HSDPAトラフィックのための改善したディメンジョニングの方法

(57) 【特許請求の範囲】

【請求項1】

専用チャネル(DCH)トラフィックと高速ダウンリンクパケットアクセス(HSDPA)トラフィックの両方にとって、全球的移動体通信システム(UMTS)地上無線アクセス網(UTRAN)におけるサービスグレード(GoS)要求条件を満足するため、lubインタフェースで必要とされる容量を決定する方法であり、

前記lubインタフェースは、無線ネットワーク制御装置(RNC)とノードBとの間のリンクを有しており、

前記方法は、

HSDPAトラフィックのバンド幅要求(ElasticDim)を決定する工程と、

前記lubインタフェースの前記DCHトラフィックの平均バンド幅( $BW_{use,avg}$ )を計算する工程と、

容量(Capacity)を前記DCHトラフィックの必要容量(CapacityDCH)に設定し、少なくとも前記容量がディメンジョニングシステムにおける前記DCHトラフィックに備えられる工程と、

前記HSDPAトラフィックの品質要求条件を満足するまで容量の値を増加させる工程を有し、

到達した容量の最大値が前記lubインタフェースのDCHとHSDPAトラフィックに必要とされる容量であることを特徴とする方法。

【請求項2】

前記HSDPAトラフィックのバンド幅要求を決定する工程は、前記バンド幅要求を決定するために外部ツールを使用することを含むことを特徴とする請求項1に記載の方法。

【請求項3】

前記HSDPAトラフィックのバンド幅要求を決定する工程は、弾性ユーザモデルに基づき前記要求を決定することを含むことを特徴とする請求項1に記載の方法。

【請求項4】

前記lubインタフェースの利用可能なバンド幅は、ほぼ等しく進行中のフロー間で共有され、HSDPAフローの長さ（即ち、ダウンロード時間）は受信したビットレートに依存することを特徴とする請求項3に記載の方法。

【請求項5】

必要とされる所定の目標平均（TargetAvg）ダウンロードレートを与えるため、前記HSDPAトラフィックのバンド幅要求を決定する工程をさらに有することを特徴とする請求項3に記載の方法。

【請求項6】

もしElasticDimが所定の目標ピークレート（TargetPeak）より小さければ、前記ElasticDimの値をTargetPeakに設定することを特徴とする請求項5に記載の方法。

【請求項7】

$ElasticDim = MAX(AvgLoad + TargetAvg ; TargetPeak)$  であり、

AvgLoadは平均ビジー時負荷であり、

TargetAvgはビジー時負荷条件中に体験する平均ユーザデータダウンロードレートであり、

TargetPeakは1つのアクティブHSDPAユーザに対する目標ピークダウンロードレートに等しいことを特徴とする請求項1に記載の方法。

【請求項8】

$BW_{use,avg}$  は前記lubインタフェースでの異なる無線ベアラ（RB）タイプの平均バンド幅使用であることを特徴とする請求項1に記載の方法。

【請求項9】

$BW_{use,avg}$  はベクトルであり、

i番目の要素、 $BW_{use,avg}(i)$  はi番目のRBタイプの平均バンド幅使用を含むことを特徴とする請求項8に記載の方法。

【請求項10】

$BW_{use,avg}(i) = fEfficiency(i) \times Activity(i) \times PacketSize(i) / TTI(i)$  であり、

fEfficiencyは所定の効率係数、

Activityは接続がアクティブな時間の割合を示す所定のアクティビティ係数、

PacketSizeは所定のlubパケットサイズ、

TTIは所定の送信時間間隔であることを特徴とする請求項9に記載の方法。

【請求項11】

前記HSDPAトラフィックの品質要求条件を満足するまで容量の値を増加させる工程は、

前記HSDPAトラフィックのバンド幅要求（ElasticDim）が利用できない時間割合（actualGoS<sub>HSDPA</sub>）を決定する工程と、

もし前記actualGoS<sub>HSDPA</sub>が所定の目標値（targetGoS）より大きいなら、所定のバンド幅単位1つだけ容量を増加させる工程とを有することを特徴とする請求項1に記載の方法。

【請求項12】

前記HSDPAトラフィックのバンド幅要求（ElasticDim）が利用できない時間割合（actualGoS<sub>HSDPA</sub>）を決定する工程は、前記actualGoS<sub>HSDPA</sub>を決定するため外部ツールを使用する工程を含むことを特徴とする請求項11に記載の方法。

【請求項13】

前記HSDPAトラフィックのバンド幅要求（ElasticDim）が利用できない時間割合（

10

20

30

40

50

actualGoS<sub>HSDPA</sub>)を決定する工程は、マルチレート損失モデルに基づいて、前記actualGoS<sub>HSDPA</sub>を決定する工程を含むことを特徴とする請求項11に記載の方法。

【請求項14】

前記マルチレート損失モデルは、カウフマン - ロバーツ (Kaufman-Roberts) アルゴリズムに基づくことを特徴とする請求項13に記載の方法。

【請求項15】

actualGoS<sub>HSDPA</sub> =  $K R (Capacity, BW_{use, avg}, OfferedLoad, ElasticDim)$ であり、前記OfferedLoadは、所定のベクトルであり、そのi番目の要素は前記i番目のトラフィッククラスの提供負荷であることを特徴とする請求項14に記載の方法。

【請求項16】

前記所定の目標平均 (TargetAvg) ダウンロードレートは、平均的にビジー時負荷条件中にHSDPAユーザが体験するセッション内での所望の平均ユーザデータダウンロードレートに対応することを特徴とする請求項5に記載の方法。

【請求項17】

前記所定の目標ピークレート (TargetPeak) は、前記ノードBにただ1つのアクティブHSDPAユーザがいるならユーザが経験すべき所望のダウンロードレートに対応することを特徴とする請求項6に記載の方法。

【請求項18】

前記所定の目標値 (GoS) (targetGoS) はx%に等しく、HSDPAトラフィックに必要なとされる容量は100 - x%が利用可能であることを特徴とする請求項11に記載の方法。

【発明の詳細な説明】

【技術分野】

【0001】

本発明は一般的には通信分野に関し、特に、高速ダウンリンクパケットアクセス (HSDPA) トラフィックのための改善したディメンジョニングの方法に関する。

【背景技術】

【0002】

全球規模の移動体通信システム (UMTS) 地上無線アクセス網 (UTRAN) において、専用チャネル (DCH) トラフィック (即ち、ユーザトラフィック) は、無線ネットワーク制御装置 (RNC) とノードBとの間のlubインタフェースでは高速ダウンリンクパケットアクセス (HSDPA) よりも優先される。言い換えると、HSDPAトラフィックは、DCHトラフィックが使用しないlubインタフェース容量のみを使用する。しかしながら、lubインタフェースのための典型的なディメンジョニングの方法では、HSDPAトラフィックフローが所望のサービスグレード (Grade of Service, GoS) 要求条件を満足することができない原因ともなりえる。

【発明の開示】

【発明が解決しようとする課題】

【0003】

したがって、この技術分野ではHSDPAトラフィックのための改善したディメンジョニングの方法が必要である。特に、lubリンクでサービスグレード (GoS) 要求条件を満足するため、DCHとHSDPAの両方に必要な容量を決定する改善したディメンジョニングの方法が必要である。

【課題を解決するための手段】

【0004】

従来技術の欠陥を克服するため、本発明は、専用チャネル (DCH) トラフィックと高速ダウンリンクパケットアクセス (HSDPA) トラフィックの両方にとって、全球規模の移動体通信システム (UMTS) 地上無線アクセス網 (UTRAN) におけるサービスグレード (GoS) 要求条件を満足するため、lubリンクで必要な容量を決定する方法を開示する。その方法は、HSDPAトラフィックのバンド幅要求 (ElasticDim) を決定

10

20

30

40

50

する工程と、 $l u b$ インタフェースのDCHトラフィックの平均バンド幅 ( $BW_{use,avg}$ ) を計算し、容量 (Capacity)をDCHトラフィックの必要容量 (CapacityDCH) に設定し、少なくとも前記容量をディメンジョニングシステムにおけるDCHトラフィックに備えられる工程と、HSDPAトラフィックの品質要求条件が満足されるまでCapacityの値を増加させる工程とを有し、到達したCapacityの最大値が $l u b$ インタフェースのDCHとHSDPAトラフィックが必要とする容量とする。

#### 【0005】

より十分に以下で説明する代表的な方法では、HSDPAトラフィックのバンド幅要求 (ElasticDim) を決定する工程には、バンド幅要求を決定するために外部ツールを使用することを含む。あるいは、弾性ユーザモデルに基づき前記要求を決定し、要求目標平均 (TargetAvg) ダウンロードレートを与えるため、前記HSDPAトラフィックのバンド幅要求を決定する。代表的な弾性ユーザモデルによれば、 $ElasticDim = MAX (AvgLoad + TargetAvg ; TargetPeak)$  である。ここで、AvgLoadは平均ビジー時負荷であり、TargetAvgはビジー時負荷条件中に体験する平均ユーザデータダウンロードレートであり、TargetPeakは1つのアクティブHSDPAユーザに対する目標ピークダウンロードレートに等しい。このモデルを使用して、 $l u b$ インタフェースの利用可能なバンド幅は、ほぼ等しく進行中のフロー間で共有され、HSDPAフローの長さ (即ち、ダウンロード時間) は受信したビットレートに依存する。もしElasticDimが目標ピークレート (TargetPeak) より小さければ、ElasticDimの値をTargetPeakに設定する。

#### 【0006】

代表的な方法では、 $BW_{use,avg}$  は $l u b$ インタフェースでの異なる無線ベアラ (RB) タイプの平均バンド幅使用である。 $BW_{use,avg}$  はベクトルであり、 $i$  番目の要素は $i$  番目のRBタイプの平均バンド幅使用を含み、 $BW_{use,avg}(i) = fEfficiency(i) \times Activity(i) \times PacketSize(i) / TTI(i)$  である。ここで、fEfficiencyは効率係数、Activityは接続がアクティブな時間の割合を示すアクティビティ係数、PacketSizeは $l u b$ パケットサイズ、TTIは送信時間間隔である。

#### 【0007】

以下に説明する代表的な方法では、HSDPAトラフィックの品質要求条件を満足するまでCapacityの値を増加させる工程には、HSDPAトラフィックのバンド幅要求 (ElasticDim) が利用できない時間割合 ( $actualGoS_{HSDPA}$ ) を決定する工程を含み、もし $actualGoS_{HSDPA}$  が目標値 ( $targetGoS$ ) より大きいなら、所定のバンド幅単位1つだけCapacityを増加させる。HSDPAトラフィックのバンド幅要求 (ElasticDim) が利用できない時間割合 ( $actualGoS_{HSDPA}$ ) を決定する工程には、 $actualGoS_{HSDPA}$  を決定するため外部ツールを使用する工程を含み、あるいは、この決定はマルチレート損失モデルに基づいても良い。ここで説明する代表的な実施例では、そのようなマルチレート損失モデルはカウフマン-ロバート (Kaufman-Roberts) アルゴリズムに基づいている。

#### 【0008】

本発明の特徴と機能を図示するため、下記の添付図面と併せてここで以下の詳細な説明を参照する。

#### 【発明を実施するための最良の形態】

#### 【0009】

ディメンジョニングの方法はトラフィック要求と要求サービスグレード (GoS) の記述から始める。異なるの専用チャネル (DCH) のクラスは、 $l u b$ インタフェースでのバンド幅要求 (BW)、アーラン (E) 単位の提供負荷 (offeredLoad)、及び、目標ブロック確率 (GoS) で記述する。高速ダウンリンクパケットアクセス (HSDPA) トラフィックは、平均トラフィック (AvgLoad)、一個のアクティブHSDPAユーザに対するピークユーザデータスループット (TargetPeak)、及び目標平均ダウンロードレート (TargetAvg) で記述する。この方法の出力は要求最小リンク容量である。この容量を使用して、DCHトラフィックのGoS要求条件とHSDPAトラフィックのGoS要求条件 (即ち、目標平均ダウンロードレート) の両方を満足させることができる。

## 【 0 0 1 0 】

DCHトラフィックはHSDPAトラフィックより優先され、HSDPAトラフィックはDCHトラフィックが使用しない容量を使用できる。このリソース共有手法により、図1に示すように、DCHとHSDPAトラフィックを個別にディメンジョニングすることと比較し、要求リンク容量の削減が可能となる。

## 【 0 0 1 1 】

ElasticDimで示すHSDPAトラフィックのバンド幅要求を得るには、二つの方法がある。第一には、HSDPAトラフィックのバンド幅要求が、外部の方法/ツールにより決定される。実際に、HSDPAトラフィックのバンド幅要求は、提案する方法の入力パラメータである。このケースを使用して、設計者はUuインタフェースについてのリソース共有方法を更に正確に考慮することができる。おそらく、ラウンドロビン(RR)、最大搬送波対干渉(最大C/I)比、或いは、プロポーショナル・フェア(PF)スケジューリングアルゴリズムでは、HSDPAトラフィックに対する実現可能なバンド幅は異なる結果になる。それ故に、LuインタフェースでのHSDPAトラフィックのバンド幅要求もまた異なる。第二には、弾性モデル方法がHSDPAトラフィックのディメンジョニングに用いられる。

## 【 0 0 1 2 】

HSDPAトラフィックは弾性トラフィックとしてモデル化される。ここで、利用可能なバンド幅はほぼ等しく進行中のフロー間で共有され、HSDPAフローの長さ(即ち、ダウンロード時間)はその受信したビットレートに依存する。要求TargetAvgを提供するためにHSDPAトラフィックのバンド幅要求を決定する。もし、このElasticDimで示すバンド幅要求がTargetPeakより小さければ、ElasticDimをTargetPeakと等しく設定する。

## 【 0 0 1 3 】

ElasticDimは以下のように計算できる。

## 【 0 0 1 4 】

$$\text{ElasticDim} = \text{MAX}(\text{AvgLoad} + \text{TargetAvg}; \text{TargetPeak})$$

“目標平均ダウンロードレート”に関してGoS要求条件を満足するため、HSDPAトラフィックの平均負荷にTargetAvgの余分の容量を追加する。即ち、“目標平均ダウンロードレート”のGoS要求条件を満足するため、AvgLoadを超えて付加的な容量のTargetAvg量が必要とされる。

## 【 0 0 1 5 】

DCHのGoS要求条件を満足し、高い確率(例えば、TargetCapacityAvailabilityが90%)でHSDPAバンド幅要求(ElasticDim)を保証するために要求される容量が決定される。このステップでは、カウフマン-ロバーツ(KR)式に基づくディメンジョニングの方法を使用することができる。

## 【 0 0 1 6 】

HSDPAに対しては、ブロック確率目標として“1 - TargetCapacityAvailability”を、そのバンド幅要求としてElasticDimを使用することができる。このHSDPAクラスは低い優先度を持ち、この方法ではDCHに影響がない。それ故に、このクラスの提供負荷はゼロに設定できる。

## 【 0 0 1 7 】

DCHクラスのために接続許可制御(CAC)が予約したバンド幅に設定するのに替えて、DCHクラスの平均バンド幅使用にDCHクラスのバンド幅要求を設定する。もし、CACが予約したバンド幅要求を持つDCHの容量要求(DCHとHSDPAの共同ディメンジョニングの間に使用されるバンド幅より大きい)がこの第二のステップで計算される容量より大きいなら、大きい方の容量を使用すべきである。厳密な遅延限界のようなパケットレベルGoSを提供するため、DCH接続のため、その平均バンド幅より広いバンド幅を与える必要がある。しかしながら、DCH接続はより長い時間スケールで自身の平均バンド幅のみを占有し、このようにして、HSDPA接続は不使用のバンド幅を利用することができる。DCHの提供負荷はディメンジョニングの入力パラメータである。

10

20

30

40

50

## 【 0 0 1 8 】

最後に、上記の設定を使用し、DCHとHSDPAトラフィック間でリソース共有を仮定し、カウフマン - ロバーツのディメンジョニング公式がDCHとHSDPAのトラフィックに対する要求容量を与える。もし、CACが予約したバンド幅要求を持つDCHの容量要求（これは、DCHとHSDPAの共同ディメンジョニングの間に使用される平均バンド幅より大きい）が高いなら、要求容量には大きい方の容量を使用する。CACが予約したバンド幅要求を持つDCHの容量要求はディメンジョニングの入力パラメータである。

## 【 0 0 1 9 】

本発明の原理に従う代表的な方法を説明する前に、リソース共有方法の利点と、ディメンジョニングの方法がこれらの利点をどのように考慮することができるかを説明する。

10

## 【 0 0 2 0 】

リソース共有シナリオは以下のような属性を持つ。即ち、クラスA/BとクラスCは同じ固定ビットレート(CBR)の仮想チャンネル(VC)上にあり、クラスA/BはクラスCに優先し、クラスCはクラスA/Bが使用しないリソースを使用することができる。DCH接続はクラスA/Bにマッピングされ、HSDPA接続はクラスCにマッピングされる。ディメンジョニング手順ではこれらの属性を幾つかの方法で考慮に入れる。

## 【 0 0 2 1 】

第一に、クラスA/Bトラフィックは通常はピークに到る負荷にはならず、クラスA/Bに割り当てられたリソースは時間的に変化する。クラスCはクラスA/Bが使用しないリソースを使用することができるが、HSDPAトラフィック量を制御するプロトコルのダイナミクス（例えば、転送制御プロトコル(TCP)と、RNCとノードBとの間のフロー制御）によって、クラスCリソース割り当ての適応スピードは制限される。図2はクラスCトラフィックが変化する利用可能なバンド幅にどのように適応するかの例を示す（効果“A”）。クラスCトラフィックに対して利用可能な容量が増加する時、その適応はゆっくり付加的に利用可能なバンド幅を探る。クラスCトラフィックに対して利用可能な容量が減少する時、輻輳を検出後、その適応はすばやくフローの速度を削減し、つぎにゆっくり利用可能な容量を探る。この適応は両方の場合で時間を要し、このため、低優先度のトラフィックがクラスA/Bトラフィックから残った容量全てを使用することにはならない。

20

30

## 【 0 0 2 2 】

第二に、図3に図示されているように、パケット交換専用チャンネル(PS DCH)を通常十分には利用しない（効果“B”）が、クラスA/B用CACでは、これらの接続のアクティビティ係数は依然として1に設定する（即ち、これは控えめの仮定である）。ここで開示するディメンジョニング手順では、PS DCHの利用度は100%より小さいと仮定する。

## 【 0 0 2 3 】

第三に、クラスA/B接続の厳密な遅延要求条件を満足させるため、CACがDCHのために予約したリソースは、DCHレートより十分大きくてもよい（例えば、64kまたは384k）。例えば、RNCとノードB間のパケットの遅延要求条件Dが減少するにつれ、384kベアラ用にCACが予約したバンド幅は増加する。共有VCの容量が小さいなら、わずか（例えば、1個または2個）の384k接続のみがリンクで多重化されるため、統計的多重化は効果的でありえない。このようなケースでは、ディメンジョニング手順は、CACがそれに割り当てられたバンド幅よりDCHレートを小さくできるということを考慮する。DCHレートと割り当てられたバンド幅との間のこの相違は、受け入れ可能なあるDCHタイプの最大接続数が小さく、遅延要求条件が厳密な“小規模システム”に対してのみ大きくなりうる。

40

## 【 0 0 2 4 】

例えば、非同期転送モード(ATM)の適合レイヤタイプ2(AAL2)レベルで2個の優先キューのみを持つシステムを考える。このケースでは、クラスA/Bは先入れ先出

50

し ( F I F O ) 方法で高い優先度の A A L 2 キューを共有し、従って、全てのクラス A / B 接続に対して最高に厳密な遅延要求条件 ( 即ち、音声の遅延要求条件 ) を満足させなければならない。図 4 は、V C 容量が非常に小さいので、前記システムにおいて、せいぜい 1 個の 3 8 4 k P S 接続があり得る程度であると仮定する。遅延要求条件 D が送信時間間隔 ( T T I ) より小さいので、バッファサーバはほんの一部の時間でのみビジーである ( 効果 “ C ” ) ことを示している。従って、A A L 2 クラス C トラフィックは、クラス A / B バッファが空の時、残りの容量を使用できる。

#### 【 0 0 2 5 】

本発明の原理に従うディメンジョニングの方法を使用して、前述の効果の全てを検討する。カウフマン - ロバーツディメンジョニングの方法を使用して、このディメンジョニングはなされる。低い優先度のトラフィック要求は、新しいトラフィッククラスとしてそのディメンジョニングに含まれる。このトラフィッククラスのバンド幅要求は、図 5 で図示された低優先度のトラフィックのディメンジョニングされた容量要求に等しく、部分 5 0 1 はリソース共有によるバンド幅利得を表している。

10

#### 【 0 0 2 6 】

例えば、低優先度トラフィック要求を表す新しく付加されたトラフィッククラスに対して 1 0 % G o S 目標値を使用することにより、効果 “ A ” を扱う。これは、低優先度トラフィックに対して要求される容量は、9 0 % の時間で利用可能であろうということを意味している。( 変化するバンド幅に理想的に適応するケースでは、高優先度ソースの平均バンド幅使用を用いることができる。9 0 % の使用は、非理想的な適応の効果を含む場合に対して根拠のある推測である。 ) 共通 V C をディメンジョニングする場合、P S トラフィッククラスのバンド幅要求に P S 効率ファクタ ( fEfficiency ) を適用することにより、効果 “ B ” が扱われる。C A C により計算されるバンド幅 ( これは極端なケースでは  $packet\_size * activity / D$  と同じくらい高いことがありえる ) の代わりに、カウフマン - ロバーツディメンジョニングの方法への入力としてトラフィッククラスの接続の平均負荷 (  $packet\_size * activity / TTI$  ) を使用して、効果 “ C ” が扱われる。図 5 は異なるディメンジョニングされた容量を描写している。

20

#### 【 0 0 2 7 】

さて図 6 A と図 6 B において、本発明の原理に従う代表的なディメンジョニングの方法 ( 図 6 A ) が図示されており、その代表的なディメンジョニングの方法において利用されるカウフマン - ロバーツアルゴリズムに従う方法 ( 図 6 B ) が含まれている。この方法を利用する場合、全てのバンド幅は共通バンド幅の単位 ( 例えば、1 k b p s ) に変換すべきであり、バンド幅の単位で表現されたバンド幅全ては整数値である。

30

#### 【 0 0 2 8 】

ディメンジョニングは要求入力パラメータの収集で始まる。この方法の入力は二つの部分、即ち、( i ) D C H 関連と ( i i ) H S D P A 関連とに分割することができる。ディメンジョニング中のシステムでは、幾つかの異なる D C H トラフィッククラスがサポートされる。各 D C H トラフィックについて以下に説明する。

#### 【 0 0 2 9 】

- ・アーランでトラフィッククラスの提供負荷を offeredLoad で表示する。  
offeredLoad はベクトルであり、その i 番目の要素には i 番目の D C H トラフィッククラスの提供負荷を含む。この提供負荷にはソフトハンドオーバーによる負荷の増加を含む。その提供負荷は、接続の平均保持時間 ( 即ち、平均継続時間 ) を乗じた接続の到着強度 ( 1 秒間に新しく到着した平均接続数 ) である。

40

#### 【 0 0 3 0 】

- ・各 D C H クラスの無線ペアラ ( R B ) の説明、即ち、  
パケットサイズはビット、T T I、アクティビティ係数、及び、  
P S R B に対する効率ファクタである。

#### 【 0 0 3 1 】

- ・D C H トラフィックの最小容量要求 ( CapacityDCH ) はまた、ディメンジョニング

50

の方法の入力パラメータである。DCHトラフィックはl u bインタフェースで厳密な遅延と損失の要求条件を持ち、それ故、DCHの品質要求条件を満足させるために必要な容量を決定するため、外部ツールが必要である。この容量はDCHトラフィックのみに必要である。ささいなことであるが、DCHとHSDPAトラフィックの容量要求は少なくともこの容量でなければならない。

【 0 0 3 2 】

HSDPA関連の入力は以下の通りである。

【 0 0 3 3 】

- ・ AvgLoadで表示される k b p s での平均ビジーアワートラフィック。この平均ビジーアワートラフィックは、ビジー時の長さ（即ち、3600秒）で除算されたビジー時のHSDPA接続で搬送される平均データ量である。あるいは、これはユーザ数にビジー時のユーザの平均負荷を乗算して計算される。

10

【 0 0 3 4 】

- ・ TargetAvgで表示される目標平均ダウンロードレート。これはビジー時のトラフィック負荷条件の間、HSDPAユーザが平均的に経験する筈のセッション内の平均ユーザデータダウンロードレートである。経験したレートは増加するセッション長に対して減少の変化をするセッション間で統計的に変化する。

【 0 0 3 5 】

- ・ TargetPeakで表示される k b p s での目標ピークレート。もし、無線基地局（RBS、即ち、ノードB）に一つのアクティブHSDPAユーザのみしか存在しないなら、RBSへのl u bのディメンジョンされた転送ネットワーク（TN）容量以外の要因（例えば、悪い無線条件や低いUE能力）によって制限されないなら、そのユーザはこのレートで長いユーザデータファイルをダウンロードできるべきである。

20

【 0 0 3 6 】

- ・ targetGoSで表示されるHSDPAのための目標GoS。もし、HSDPA用目標GoSが10%ならば、HSDPAトラフィック用に必要とされる容量は時間の90%利用可能であろうということを意味する。

【 0 0 3 7 】

全ての入力を収集後（ステップ601）、DCHとHSDPAトラフィックに対する要求容量が決定される。ステップ602では、HSDPAトラフィックの容量要求（ElasticDim）を決定する。HSDPAトラフィックに対してl u bで専用の固定容量のリソースを使用する場合、この容量を必要とする。このステップでは、二つのオプションがある。即ち、（i）ElasticDimを決定するため外部ツールを使用すること、或いは、（ii）弾性ユーザモデルに基づいてElasticDimを決定することである。第一のケースでは、HSDPAトラフィックのバンド幅要求はこの方法の入力パラメータであり、このケースでは、設計者はU u インタフェースにおけるリソース共有方法をもっと厳密に考慮することができる。おそらく、RR、最大搬送波対干渉（最大C / I）比、或いは、PFスケジューリングアルゴリズムは、HSDPAトラフィックに対して異なる達成可能バンド幅をもたらす結果となる。それ故に、l u bインタフェースでのHSDPAトラフィックのバンド幅要求もまた異なる。第二のケースでは、HSDPAトラフィックのディメンジョンのために弾性モデル方法を使用することができる。その弾性モデルでは、HSDPAトラフィックを弾性トラフィックとしてモデル化できると仮定する。この意味するところは、l u bインタフェースの利用可能なバンド幅をほぼ等しく進行中のフロー間で共有し、HSDPAフローの長さ（即ち、ダウンロード時間）はその受信レートに依存するということである。要求TargetAvgを与えるためにHSDPAトラフィックのバンド幅要求を決定する。もし、このバンド幅要求（ElasticDim）がTargetPeakより小さければ、ElasticDimの値をTargetPeakに設定する。それ故に、弾性ユーザモデルに基づき、そして“一個のアクティブHSDPAユーザのピークユーザデータスループット”を考慮すると、ステップ602では、次に示す必要リンク容量が得られる結果になる。

30

40

50

## 【 0 0 3 8 】

$ElasticDim = MAX ( AvgLoad + TargetAvg ; TargetPeak )$

即ち、“目標平均ダウンロードレート”(TargetAvg)に関するGoS要求条件を満足させるため、HSDPAトラフィックの平均負荷(AvgLoad)にTargetAvgの余分の容量を付加する。即ち、“目標平均ダウンロードレート”(TargetAvg)のGoS要求条件を満足させるため、AvgLoadを超えて付加的な容量のTargetAvg量が必要である。このElasticDimはシステムの転送効率を記述する(例えば、1より大きい数値で乗算する)でファクタで増加させることができる。また、このファクタにプロトコルオーバーヘッドも考慮することができる。ステップ602の終了時にはElasticDimが決定される。

## 【 0 0 3 9 】

次に、ステップ603では、lubインタフェースでの異なる無線ベアラ(RB)の平均バンド幅使用が決定される。システムは一つ以上のRBタイプをサポートするので、全ての可能なRBタイプのバンド幅使用が決定される。この平均バンド幅を $BW_{use,avg}$ と表すが、 $BW_{use,avg}$ はベクトルであり、そのi番目の要素にはi番目のRBタイプの平均バンド幅使用を含む。

## 【 0 0 4 0 】

DCHのRBの packets を搬送するA/B ALL 2クラスの接続のlubインタフェースにおける平均バンド幅使用は、TTIで除算されたパケットサイズ、即ち、接続がアクティブ(送信すべきデータが存在する)の場合のパケットの中間到着時間である。接続のアクティビティを考慮して(即ち、送信すべきデータがない場合には時間間隔が存在する)、アクティビティ係数(Activity)が乗算される。アクティビティ係数(1)は、その接続がどれだけアクティブであるか(即ち、その接続がどれだけ割合の時間でアクティブであるか)を表現する。効果“B”を考慮して、効率ファクタ(fEfficiency)を乗じる。各RBタイプはそれ自身のアクティビティと効率ファクタを持つ。TTIとパケットサイズ(PacketSize)はシステム固有値である。アクティビティと効率ファクタはトラフィックとシステムに関連しており、測定により、或いは、ある解析方法または他の外部ツールに基づいて決定される。ステップ602の終了時には、i番目の要素がi番目のRBタイプの平均バンド幅使用を含む $BW_{use,avg}$ が決定される。

## 【 0 0 4 1 】

次に、ステップ604では、容量(Capacity)をDCHの容量要求(CapacityDCH)に設定されるが、これは少なくともこの容量がディメンジョニングされたシステムにおいてDCHに備えられるからである。続いて、この方法では、HSDPAトラフィックの品質要求条件を満足するまで、その容量を増加させるであろう。

## 【 0 0 4 2 】

ステップ605では、HSDPAトラフィックの品質要求条件を満足するまで、その容量は増加させられる。ループ(ステップ605、606、607)において、実際の容量に対してシステムは評価される。即ち、どの部分の時間の間、ElasticDimがHSDPAトラフィックに利用可能できないかを決定する。もし、 $actualGoS_{HSDPA}$ と表わされる時間部分が要求値targetGoSより大きいなら、その容量を1バンド幅単位で増加させる。どの部分の時間、ElasticDimがHSDPAトラフィックに対して利用可能でないか(即ち、 $actualGoS_{HSDPA}$ )を決定するためには、二つのオプションがある。即ち、(i)  $actualGoS_{HSDPA}$ を決定するために外部ツールを使用すること、或いは、(ii) マルチ-レート損失モデルに基づいて $actualGoS_{HSDPA}$ を決定することである(図6Bとその関連説明を参照)。このステップの終了時には、CapacityはDCHとHSDPAトラフィックに必要なディメンジョニングされた容量を含むであろう。

## 【 0 0 4 3 】

マルチレート損失モデルに基づいて $actualGoS_{HSDPA}$ を決定する方法は、当業者に周知のカウフマン-ロバーツアルゴリズムに基づいている。図6Bにおいて、この方法は必要な入力パラメータの収集で始まる(ステップ609)。入力パラメータは、Capacity、ベクトル $BW_{use,avg}$ 、ベクトル $offeredLoad$ 、及び、ElasticDimであり、これらは既に説明した

10

20

30

40

50

。次に、ステップ610では、ベクトル $\underline{g}$ が初期化される。ベクトル $\underline{g}$ はこの方法の終わりでリンク占有分布を含む。最初の要素は1に設定され、残りの要素は0に設定される。この方法中では、 $\underline{g}$ の値を1に正規化する必要はない。

【0044】

ステップ611では、 $c = 1$ からCapacityまでのベクトル $\underline{g}$ の要素を1ステップずつ計算する。ベクトル $\underline{g}$ の $c$ 番目の要素は以下のように計算される。即ち、ベクトル $\underline{BW}_{use,avg}$ にベクトル $\underline{offeredLoad}$ を各要素に対応させて乗じ、 $\underline{V}$ および $V(i) = \underline{BW}_{use,avg}(i) \times offeredLoad(i)$ で表わされる新しいベクトルを得る。次に、もし、 $c - \underline{BW}_{use,avg}(i) > 0$ ならば、 $V(i)$ に $g(c - \underline{BW}_{use,avg}(i))$ を乗じ、そうでなければ0を乗じる。次に、 $V(i)$ を $i$ にわたって加算し、 $c$ で除算する。

10

【0045】

ステップ612では、ベクトル $\underline{g}$ の合計を決定する。占有分布の1への正規化において、この合計が使用されるであろう。

【0046】

次に、ステップ613では、占有分布を正規化する。即ち、全ての $c = 1$ からCapacityまでの合計で $g(c)$ を除する。

【0047】

ステップ614では、 $actualGoS_{HSDPA}$ が決定される。これはHSDPAトラフィックであり、Capacity - ElasticDim - 1からCapacityまでの占有分布の合計（即ち、ベクトル $\underline{g}$ ）である。この $actualGoS_{HSDPA}$ は、DCHの残した容量がElasticDimの容量より少ない場合の確率である。この $actualGoS_{HSDPA}$ の値をステップ615で出力する。

20

【0048】

上述したことから、殆どどのケースで、リソース共有を適用するとDCHとHSDPAトラフィックの個別処理に対して大きな容量利得を得ることになることを当業者は認識するであろう。図7と図8とは、リソース共有を用いることが容量の大きな量を節約できることを示している。図示された二つの例では、等しいトラフィック負荷またはトラフィックパターン/モデルを持つ。これらの例では、欧州デジタル伝送フォーマット1（E1）の物理層伝送インタフェースを考慮しており、これは欧州で一般に使用され、ATMセルに対して1920kbpsを提供している。このことは、1ubリンク容量がこのE1の精度を持つことを意味する。1920kbpsより高いATM仮想パス接続（VPC）バンド幅を実現するため、ATM特性に対する逆多重化（IMA）がグループE1に用いられる。ここで開示した原理に従うリソース共有により、要求されるE1容量が削減されることになることを当業者は認識するであろう。例えば、2000ユーザのケースを考えると、個別のAAL2仮想チャネル接続（VCC）は7個のE1容量を必要とするが、リソース共有を使用すると5個のE1容量だけを必要とするのみである。

30

【0049】

上記ではむしろ広く本発明の原理を概観したので、当業者は続く代表的な実施例の詳細な説明をより良く理解するかも知れない。当業者は、本発明と同じ目的を実行するための他の構造と方法を設計または変更するための基礎として、開示した概念と代表的な実施例とを容易に使用できることを認識すべきである。また、このような等価な構成は、ここで備えられる請求の範囲により定義されるように本発明の最も広い形式において、本発明の精神と範囲から逸脱するものではないことを当業者は認識すべきである。

40

【図面の簡単な説明】

【0050】

【図1】リソース共有環境におけるDCHとHSDPAトラフィックのディメンジョニングを示す図である。

【図2】クラスCのトラフィックが変化する利用可能バンド幅にどのように適応するかを示す図である。

【図3】PS DCHの平均利用がどのように100%未満となるかを示す図である。

【図4】バッファ利用への遅延要求条件の効果を示す図である。

50

【図5】リソース共有シナリオにおけるディメンジョニングを示す図である。

【図6A】本発明の原理に従ってディメンジョニングを行なう代表的な方法を示す図である。

【図6B】図6Aで図示した代表的なディメンジョニングの方法で利用するカウフマン - ロバーツアルゴリズムに従う方法を示す図である。

【図7】DCHとHSDPAトラフィックに対して個別のAAL2 VCCを使用するDCHとHSDPAトラフィックのリソース要求を示す図である。

【図8】本発明の原理に従うリソース共有を使用するDCHとHSDPAトラフィックのリソース要求を示す図である。

【図1】

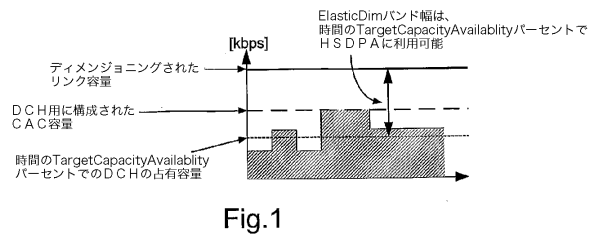


Fig.1

【図4】

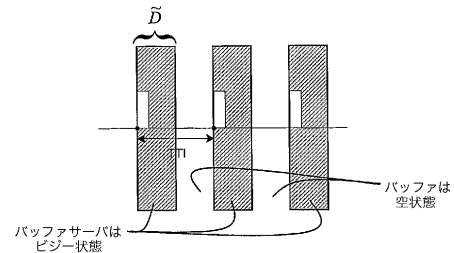


Fig.4

【図2】

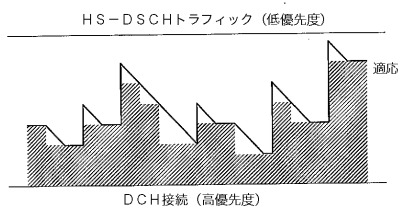


Fig.2

【図5】

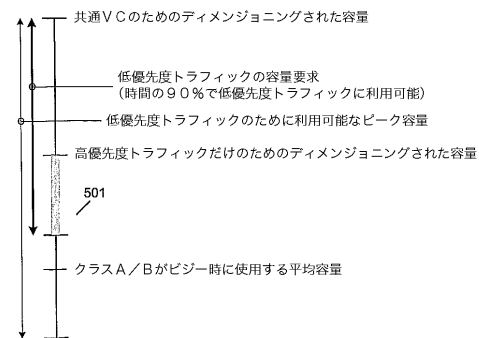


Fig.5

【図3】

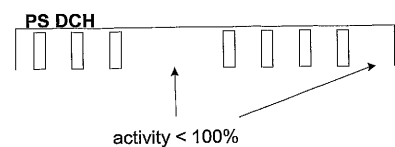


Fig.3

【 図 6 A 】

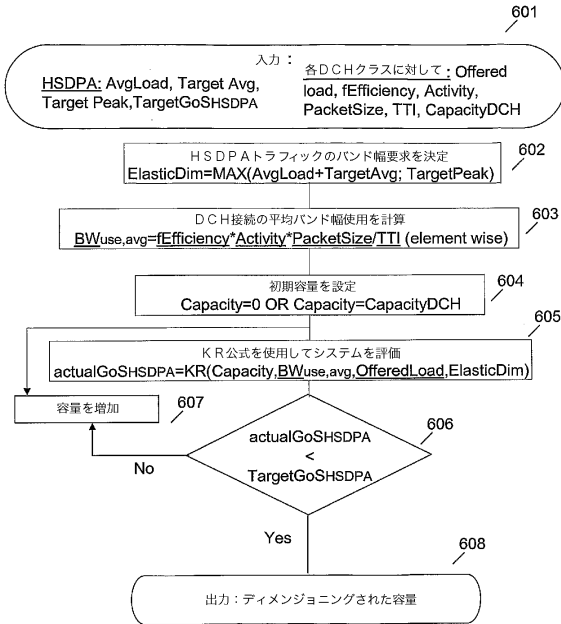


Fig.6A

【 図 6 B 】

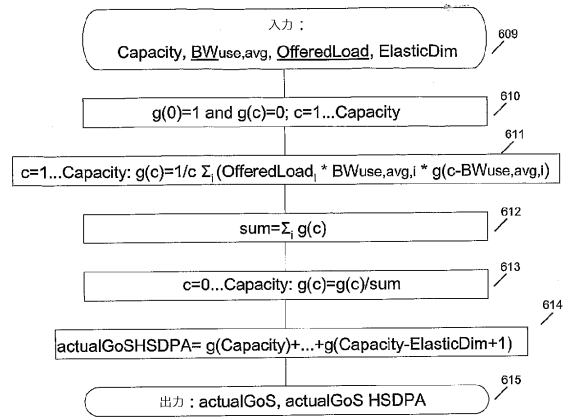


Fig.6B

【 図 7 】

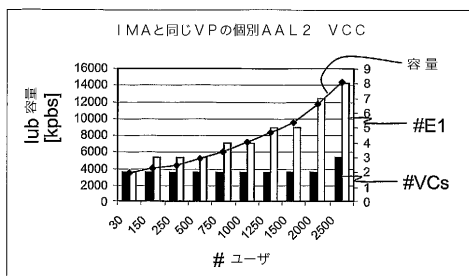


Fig.7

【 図 8 】

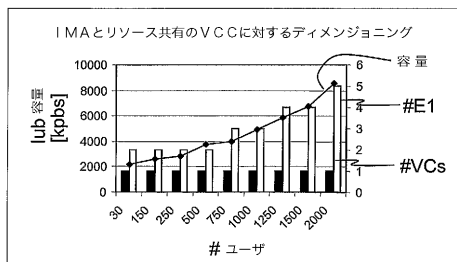


Fig.8

## フロントページの続き

- (72)発明者 ラツェ、 サンドル  
ハンガリー国 セグレド エイチ - 2700, ベン ウトゥカ 2
- (72)発明者 ナダス, シルベスツター  
ハンガリー国 ブダペスト エイチ - 1192, ゴルタン ユー . 28 . エフエスゼット .  
2
- (72)発明者 マロムソコイ, サボルックス  
ハンガリー国 センテンドレ エイチ - 2000, セチェンイ -テル 31, 3 .イーエム  
. 9
- (72)発明者 ゲレ, バラス ペーター  
ハンガリー国 ブダペスト 1095, メスター ユー . 40 - 44
- (72)発明者 ロスベルイ, ウルフ  
スウェーデン国 テイレサー エス - 13553, ツウヴィスティゲン 5

審査官 中元 淳二

- (56)参考文献 M. Glabowski et al., Available bandwidth for HSDPA and HSUPA services, Telecommunications and Malaysia International Conference on Communications, 2007. ICT-MICC 2007, 2007年 5月17日, pp.611-615

## (58)調査した分野(Int.Cl., DB名)

H04W 28/20

H04W 92/12